

## МОДЕЛИ ФОРМИРОВАНИЯ ДОПЛЕРОВСКОГО СПЕКТРА ПОВЕРХНОСТНОЙ РЕВЕРБЕРАЦИИ ДЛЯ ЗВУКОВЫХ ВОЛН МЕТРОВОГО ДИАПАЗОНА

© 2023 г. М. Б. Салин<sup>a</sup>, \*, А. В. Ермошкин<sup>a</sup>, Д. Д. Разумов<sup>a</sup>, Б. М. Салин<sup>a</sup>

<sup>a</sup>Федеральный исследовательский центр Институт прикладной физики им. А. В. Гапонова-Грехова  
Российской академии наук, ул. Ульянова, 46, Нижний Новгород, 603950 Россия

\*e-mail: mikesalin@ipfran.ru

Поступила в редакцию 28.03.2023 г.

После доработки 26.04.2023 г.

Принята к публикации 22.06.2023 г.

Проанализированы узкополосные спектры рассеянного на поверхностном волнении звука в частотном диапазоне от 500 до 3000 Гц. Рассмотрены экспериментальные результаты и теоретические модели. Проведен обзор ранее опубликованных работ авторов и представлены новые результаты. Первым характерным рассмотренным случаем является просветное рассеяние, когда передатчик и приемник звука существенно разнесены друг от друга в пространстве, и производится непрерывное излучение синусоидального сигнала. Для этого случая показано, что спектр модуляции рассеянного сигнала повторяет частотный спектр поверхностного волнения с определенным коэффициентом и малыми поправками. Вторым характерным рассмотренным случаем является моностatische локация, когда приемник и передатчик совмещены и производится излучение тонально-импульсных сигналов. Ранее для этого случая неявно ожидалось, что спектр реверберации будет сформирован брэгговским рассеянием на поверхностных волнах, соответствующих половине длины звуковой волны, и, следовательно, спектр рассеянного сигнала будет иметь дискретный вид. Но результаты экспериментов свидетельствуют о том, что спектры моностатического рассеяния имеют плавную колоколообразную форму. Для объяснения этого требуется учитывать эффекты модуляции коротких поверхностных волн длинноволновой составляющей. Дополнительно для объяснения экспериментального феномена авторами подключается модель рассеяния звука на пузырях воздуха, которые находятся в приповерхностном слое воды и совершают колебательные движения в поле орбитальных течений поверхностных волн.

**Ключевые слова:** морская низкочастотная реверберация, обратное рассеяние, просветное рассеяние, пузырьки газа в воде, ветровое волнение, сила рассеяния, спектр реверберации

**DOI:** 10.31857/S032079192360035X, **EDN:** NMHHK1

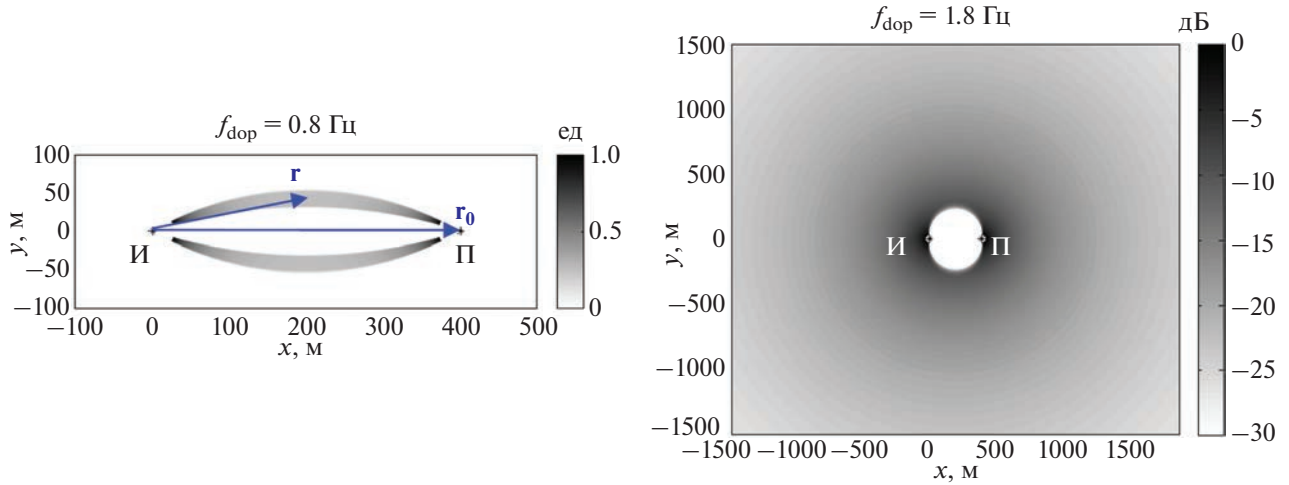
### ВВЕДЕНИЕ

Поводом к написанию данной статьи послужил тот факт, что при всем многообразии работ, посвященных поверхностной реверберации, до сих пор мало освещен вопрос о спектральных характеристиках такого типа помех. Поверхностное волнение является, пожалуй, самым быстрым природным процессом в океане и, соответственно, приводит к наибольшему доплеровскому сдвигу акустического сигнала при рассеянии. Исследования рассеяния звука на волнении начались в 1960-х годах (R.J. Urick, R.P. Chapman, J.H. Harris; наиболее полно данные по рассеянию представлены в [1]), но в те годы вопрос о спектральном составе рассеянного сигнала не поднимался ввиду соответствующего уровня радиоэлектронной базы, например, из-за отсутствия доступных анализаторов спектра. Однако, даже современные

справочники (монографии) [2] освещают вопрос поверхности реверберации с точки зрения интегрального уровня рассеянного сигнала, а не его частотного состава.

Гидролокация [3] и связь [4] – это два основных направления, в которых эффективность работы приборов принципиально зависит от наличия или отсутствия доплеровского сдвига частоты в рассеянном сигнале (канале распространения). Например, оценки дальности действия гидролокатора будут отличаться на порядок в зависимости от того, какую величину в уравнении гидролокации взять в качестве силы рассеяния (определяющей уровень реверберации): полную величину или некоторое остаточное значение, которое можно получить после того, как выполнена доплеровская фильтрация сигнала для селекции движущихся целей. Для большей конкретики, в настоящей статье мы





**Рис. 1.** Удельный вклад различных участков акватории в суммарный сигнал реверберации на частотах Доплера 0.8 и 1.8 Гц при значении несущей частоты 1500 Гц. Расчет согласно линейной теории для положения источника звука “И” и приемника “П”. Воспроизведено из работы [6].

кая что:  $\int_0^{2\pi} \Phi(\theta) d\theta = 2\pi$ ,  $\theta$  – азимутальный угол и  $g$  – ускорение свободного падения. Заметим, что при условии (3) сохраняется значение интеграла:

$$S(\Omega) = \iint dK_x dK_y G^2(\mathbf{K}, \Omega).$$

В данной статье будут сравниваться результаты, полученные в приближении (3) и при использовании модели экспериментально измеренного непрерывного распределения  $G^2(\mathbf{K}, \Omega)$ .

Дополнительно к (2) следует пояснить, что суммирование ведется либо по всем модам  $\chi_m, \chi_n < \chi_*$ , либо по ограниченному числу мод, когда приемная или передающая системы обладают избирательностью по вертикальному углу. Интеграл по  $S$  берется по всей площади акватории в случае ненаправленного приема, или сектору с центром в  $\mathbf{r}_0$ , если приемная система является направленной. При проведении расчетов области с радиусом порядка глубины места в окрестности излучателя или приемника исключаются.

Укажем на характерные особенности решений, получаемых при различных параметрах задачи. При существенно разнесенных точках приема и передачи, так называемом просветном рассеянии, можно утверждать, что почти в любых условиях найдется такая точка на поверхности, где именно энергонесущая волна будет брэгговским рефлектором, который развернет звук от источника в сторону приемника. Энергонесущие волны обычно являются очень длинными по сравнению со звуковой волной, и схема на рис. 1 для  $f_{\text{dop}} = 0.8$  Гц поясняет, как для таких волн выполняется условие Брэгга при больших углах раскрытия между векторами падающей и рассеянной

волны. В этом случае пик волнения всегда проявится в спектре рассеяния. Исходя из примерно тех же допущений, что и при выводе (2), в [8] было получено более компактное выражение для спектра рассеяния, возникающего на протяженных трассах в мелком море при ненаправленном излучении и приеме:

$$p_{\text{norm}}^2(\Omega) = \frac{8\pi^2 r_0 F^2 \chi_*^5}{9C^2 H} S(\Omega). \quad (4)$$

Здесь  $F = \omega/(2\pi)$  – несущая частота, остальные обозначения соответствуют уже введенным.

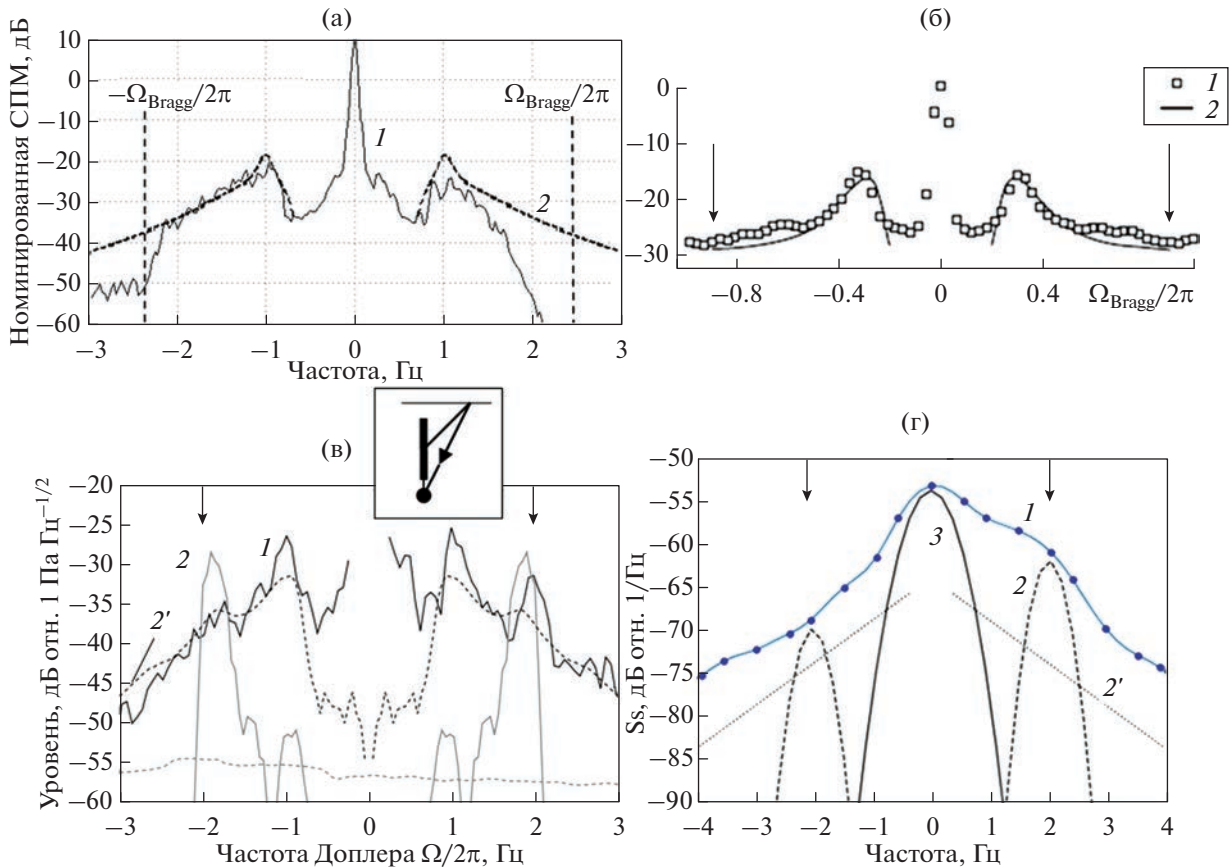
Приближенное выражение (4), справедливое вплоть до характерной брэгговской частоты

$$\Omega_{\text{Bragg}} = \sqrt{2gk}, \quad (5)$$

удобно тем, что оно напрямую связывает спектр реверберационного сигнала со спектром поверхностного волнения. Как показано в [8], выше брэгговской частоты ожидается резкий спад в спектре реверберационного сигнала.

Во многих отношениях специальным случаем является случай обратного рассеяния. При  $K \approx 2k$  звуковая волна фактически разворачивается в обратную сторону на брэгговской решетке, созданной поверхностью волной, и имеется возможность принимать сигнал со всего внешнего для приемно-передающей системы участка акватории (рис. 1 для  $f_{\text{dop}} = 1.8$  Гц). Изучение обратного рассеяния важно для практических приложений. Во-первых, это соответствует режиму работы гидролокаторов дальнего обнаружения, которые посыпают сигнал в среду на расстояния, много превышающие базу источник–приемник. Во-вторых, возможность селективного рассеяния на





**Рис. 2.** Примеры спектров реверберации, полученных в различных условиях, описанных в табл. 1. Для всех частей рисунка: 1 – экспериментальные данные, 2 – теоретический расчет в модели дисперсионных поверхностных волн, 2' – модельный расчет с учетом недисперсионных поверхностных волн, 3 – модель донной реверберации. Вертикальные стрелки и пунктиры – частота Брэгга.

Если обратиться к литературным источникам, то можно обнаружить, что очень мало авторов публикуют экспериментальные спектры обрат-

ного рассеяния. Например, в [7] представлена интенсивность на положительной и отрицательной брэгговской частоте (в оригинале: “Up-Bragg” и

**Таблица 1.** Сводные данные экспериментов по волнению

Рисунок здесь	Рис. 2а	Рис. 2б	Рис. 2в	Рис. 2г
Ссылка	[12], рис. 5а	[8], рис. 9, № 3	[14] рис. 10д	[15], новая обработка
Общая характеристика	Разнесенные передача и прием, ненаправленное излучение и прием, залив оз. Ладога	Разнесенные передача и прием, ненаправленное излучение и прием, Балтийское море	Моностатика, направленное в вертикальной плоскости излучение, ненаправленный прием, залив оз. Ладога	Моностатика, ненаправленное излучение, направленный в горизонтальной плоскости прием, Черное море
Частота $F$ , Гц	2525	420	2520	2020
Частота пика волнения $\Omega/2\pi$ , Гц	1.2	0.3	1.0	0.3
Глубина $H$ , м	20	60	20	30–50
Дистанция, км	0.1	8	~ 20 м	~ 1
Теоретическая кривая на графике	(4)	(4)	См. источник	(9)



рьезного теоретического обоснования. Общее размытие спектра делает более пессимистичным прогноз по дальности действия доплеровских гидролокаторов (работающих в данном диапазоне частот) по сравнению с такой идеализированной ситуацией, когда обратное рассеяние имело бы дискретный спектр, скажем, содержало бы только частоту Брэгга.

### 3. УТОЧНЕНИЕ МОДЕЛИ РАССЕЯНИЯ НА ВЗВОЛНОВАННОЙ ПОВЕРХНОСТИ

Поиск путей устранения несоответствия между расчетами и экспериментом был начат с модели поверхности, на которой рассеивается звук, т.е. с уточнением формы распределения  $G(\mathbf{K}, \Omega)$ , которое мы используем в (6). Первым уточнением, которое следует включить в модель и которое явно не укладывается в приближение (3), является эффект модуляции. Звук рассеивается на относительно коротких волнах, которые оказываются промодулированы полем орбитальных течений длинных волн (что так же именуется эффектом Доплера в поверхностном волнении). Гидролокатор, равно как и любой измеритель в неподвижной системе отсчета, наблюдает суммарную величину: фазовую скорость рассеивающих звук волн и орбитальную скорость течения длинных волн.

Полезно провести аналогию с радиолокацией, где в большинстве работ, посвященных отражению от взволнованной поверхности, учитывается эффект модуляции. В случае радиолокатора с длиной волны излучения 3 см, фазовая скорость волн, которые являются брэгговскими рассеивателями, оказывается сравнима с орбитальной скоростью энергонесущих волн. Именно орбитальные скорости энергонесущих волн создают основной вклад в формирование волновой структуры скоростного портрета поверхности, получаемого радиолокатором [18, 19]. В свою очередь для подводного звука килогерцового диапазона наблюдается другая закономерность. Подводный звук выбранного диапазона рассеивается брэгговским образом на довольно быстрых волнах, поэтому влияние модуляции должно выглядеть как уширение спектральной линии вокруг брэгговской частоты [20]. Здесь и далее речь идет именно об обратном рассеянии.

Поскольку масштабы модулируемой и модулирующей поверхностных волн не так сильно отличаются между собой, применимость двухмасштабной модели в данной задаче может вызывать сомнение. Для получения более точного решения в работе [21] авторами было проведено численное моделирование движения свободной поверхности в нелинейной постановке задачи. Результаты гидродинамического расчета в виде временной последовательности профилей поверхности были использованы в качестве входных данных для

следующего этапа расчета, где моделирование рассеяния звука было выполнено методом гравитационных элементов [22]. Этот метод моделирования имеет более широкую область применимости, чем использованный выше ММВ, и, например, позволяет включить в расчет такие эффекты, как затенение горбами крупных волн, и вычислять набеги фазы, возникающие при больших перемещениях поверхности. В результате были смоделированы спектры рассеянного сигнала при различных состояниях волнения [22]. Ограничением полученных результатов являлось то, что они были получены в двумерной постановке задачи (моделирование движения жидкости и распространения звука проводилось в плоскости длина—глубина).

В настоящем разделе исследуется вопрос о возможности применения имеющихся результатов двумерного моделирования [22] к анализу реального эксперимента. В двумерном (2D) случае СПМ волнения зависит от  $\mathbf{K}$  и  $\Omega$ , а в трехмерном (3D) — от  $K_x$ ,  $K_y$  и  $\Omega$ . Пусть модуляция заключается в изменении волнового вектора и частоты волны  $\mathbf{K}$  и  $\Omega$  на величины  $\pm\Delta K$ ,  $\pm\Delta\Omega$ , причем для описания результатов эксперимента следует сосредоточиться на положительном смещении. Интенсивность исходной волны в 2D составляет величину  $G^2(K, \Omega)dK$  и модулированной гармоники —  $G^2(K + \Delta K, \Omega + \Delta\Omega)dK$ . Аналогичные величины в 3D выражаются как  $G^2(K, \Omega)KdKd\theta$  и  $G^2(K + \Delta K, \Omega + \Delta\Omega)(K + \Delta K)dKd\theta$ . Примем без строгого обоснования гипотезу о том, что отношение интенсивности исходной и модуляционной компонент в 2D и 3D совпадают. Тогда опуская промежуточные выкладки можно записать, что измеряемая в эксперименте СПМ рассеянного сигнала должна оцениваться по результатам 2D моделирования с учетом корректирующего множителя:

$$\frac{p^2(\Omega)}{p_{2D}^2(\Omega)} \sim 1 - \frac{(\Omega - \Omega_{\text{Bragg}})^2}{\Omega_{\text{Bragg}}^2}. \quad (10)$$

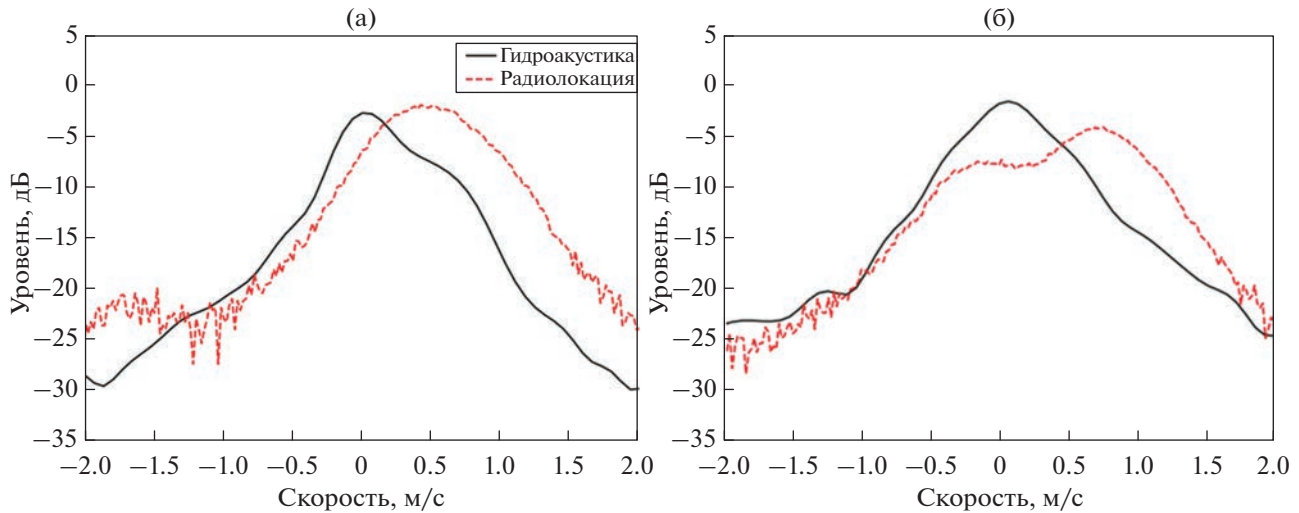
Знак пропорциональности в (10) указывает на то, что абсолютный уровень теоретического графика был подобран для совпадения с экспериментом.

Результаты численного моделирования нелинейной задачи, с учетом поправочного множителя построены на рис. 3 кривой, обозначенной как “модель волнения”. Расчет проводился для состояния волнения, соответствующего условиям эксперимента. Полученная расчетная кривая хорошо воспроизводит наклон экспериментального спектра. Из представленных данных также следует, что уже при умеренном состоянии волнения следует учитывать эффекты модуляции поверхностных волн дециметрового диапазона, которые в данном случае рассеивают звук.









**Рис. 4.** Нормированные спектры рассеянных сигналов при лоцировании морской поверхности: гидроакустическими сигналами на частоте 2 кГц и радиолокационными сигналами с длиной волны 3 см. Зависимости приведены в виде распределений по радиальной скорости движения рассеивателей. Кривые, построенные по гидроакустическим сигналам, повторяют рис. 3. Описание графиков приведено в тексте.

ной оси частот на ось скоростей. В тех же осях построены радиолокационные спектры, полученные в тоже время и в тех же секторах акватории, что и акустические спектры. В силу особенностей работы алгоритма, в действительности, для радиолокационного сигнала построен не спектр как таковой, а представлена плотность вероятности распределения рассеивателей по скоростям. Все кривые нормированы на их максимум.

В случае рис. 4а акустическая антенна работала в режиме бегущей волны. В случае рис. 4б акустическая система обладала неоднозначностью по направлению, присущей линейной антенне. В этом случае в качестве радиолокационного спектра представлен суммарный спектр по двум секторам обзора.

Исходя из рис. 4 можно сделать вывод, что радиолокационные спектры обладают достаточно близкой шириной распределения, что и спектры рассеяния подводного звука на том же участке взволнованной поверхности моря, в пересчете к единице скорости. Закон спадания с увеличением модуля скорости имеет схожий вид. Радиолокационные спектры имеют более плавную вершину, так как они чувствительны к течениям на самой поверхности и не проникают в толщу воды. Поэтому радиолокационные спектры должны соответствовать модели (12) при подстановке очень малых значениях  $z_0$ . Дополнительно необходимо учесть, что радиолокационным спектрам присущее смещение центра распределения. Во-первых, как сказано выше, роль агента поверхности скорости течения в отраженный сигнал играет сантиметровая рябь, которая движется со скоростью 0.23 м/с относительно подстилающей поверх-

ности. А во-вторых, на движение поверхности кроме собственного течения водной толщи существенное влияние оказывает ветровой дрейф, который обычно оценивается как 3% от скорости ветра [30].

В целом, радиолокационные методы исследования ветрового волнения носят более распространенный характер, чем аналогичные акустические эксперименты. Поэтому возможность применения каких-либо характеристик, полученных из радиолокационных измерений, для выполнения оценок в акустической задаче представляет большой практический интерес [31, 32].

Описанные в разделах 3 и 4 эффекты действуют совместно. Интенсивности сигнала, рассеянного брэгговским образом и рассеянного на пузырях, оказываются близкими по порядку величины. Хочется дополнительно обратить внимание читателей на спектр рассеяния, опубликованный как рис. 6 в работе [17] (более низкочастотный случай), на котором однозначно можно идентифицировать брэгговское рассеяние, и рассеяние на движущихся пузырях.

## ЗАКЛЮЧЕНИЕ

Настоящая статья обобщает результаты цикла экспериментальных и теоретических исследований авторов в области рассеяния подводного звука на поверхностном волнении с акцентом на оценку распределения интенсивности рассеянного звука по частотам Доплера. Упор сделан на переходную область между низким и средним диапазоном звуковых частот.

В случае разнесенных источника и приемника звука (в так называемой просветной схеме) наибо-



- ent radar // Russ. J. Earth Sci. 2019. V. 19. № 3. P. 1. <https://doi.org/10.2205/2019ES000662>
19. Ермошкин А.В., Капустин И.А., Мольков А.А., Богатов Н.А. Определение скорости течения на морской поверхности доплеровским радиолокатором X-диапазона // Фундаментальная и прикладная гидрофизика. 2020. Т. 13. № 3. С. 93–103. <https://doi.org/10.7868/S2073667320030089>
  20. Бурдуковская В.Г., Хилько А.И., Коваленко В.В., Хилько А.А. Анализ влияния длинных поверхностных волн на формирование рассеянного ветровым волнением акустического поля в океанических волноводах // Акуст. журн. 2019. Т. 65. № 6. С. 763–773.
  21. Байдаков Г.А., Досаев А.С., Разумов Д.Д., Салин М.Б. Оценка уширения спектра коротких поверхностных волн при наличии длинноволнового волнения // Изв. ВУЗов. Радиофизика. 2018. Т. 61. № 5. С. 374–384.
  22. Салин М.Б., Разумов Д.Д. Особенности дифракции звука на взволнованной водной поверхности в среднем диапазоне частот // Фундаментальная и прикладная гидрофизика. 2021. Т. 14. № 4. С. 98–110.
  23. Deane G.B., Stokes M.D. Scale dependence of bubble creation mechanisms in breaking waves // Nature. 2002. V. 418. № 6900. P. 839–844.
  24. Hall M.V. A comprehensive model of wind-generated bubbles in the ocean and predictions of the effects on sound propagation at frequencies up to 40 kHz // J. Acoust. Soc. Am. 1989. V. 86. № 3. P. 1103–1117.
  25. Vagle S., McNeil C., Steiner N. Upper ocean bubble measurements from the NE Pacific and estimates of their role in air-sea gas transfer of the weakly soluble gases nitrogen and oxygen // J. Geophys. Res.: Oceans. 2010. V. 115. № C12. C12054. P. 1–16.
  26. Vagle S., Gemmrich J., Czerski H. Reduced upper ocean turbulence and changes to bubble size distributions during large downward heat flux events // J. Geophys. Res.: Oceans. 2012. V. 117. № C7. C00H16. P. 1–12.
  27. Акуличев В.А., Буланов В.А. Акустические исследования мелкомасштабных неоднородностей в морской среде. Владивосток: ТОИ ДВО РАН, 2017. С. 182–188.
  28. Akulichev V.A., Bulanov V.A. Measurements of bubbles in sea water by nonstationary sound scattering // J. Acoust. Soc. Am. 2011. V. 130. № 5. P. 3438–3449.
  29. Акуличев В.А., Буланов В.А., Кленин С.А. Акустическое зондирование газовых пузырьков в морской среде // Акуст. журн. 1986. Т. 32. № 3. С. 289–296.
  30. Капустин И.А., Ермошкин А.В., Богатов Н.А., Мольков А.А. Об оценке вклада приводного ветра в кинематику сливков на морской поверхности в условиях ограниченных разгонов волнения // Современные проблемы дистанционного зондирования Земли из космоса. 2019. Т. 16. № 2. С. 163–172.
  31. Розенберг А.Д. Исследование морской поверхности радио и акустическими методами. Диссертация. Москва, 1980. 237 с.
  32. Dahl P.H., Plant W.J., Nützel B., Schmidt A., Herwig H., Terray E.A. Simultaneous acoustic and microwave backscattering from the sea surface // J. Acoust. Soc. Am. 1997. V. 101. № 5. P. 2583–2595.